

تأثیر شرایط زمین‌شناسی و خصوصیات ژئوتکنیکی نهشته‌ها در ایجاد گسیختگی زمین در شرق سمنان

محمدحسین طاهری نیا (دانشجوی دکتری)

دانشکده‌ی زمین‌شناسی، دانشگاه خوارزمی

شهروز شربی‌نی (دکتری)

دانشکده علوم پایه، دانشگاه آزاد اسلامی، واحد علوم و تحقیقات، تهران

سید محمود فاطمی عقدا* (دانشجو)

دانشکده‌ی زمین‌شناسی، دانشگاه خوارزمی

الله خشکار (کارشناس ارشد)

دانشکده‌ی زمین‌شناسی، دانشگاه شهید بهشتی

در پژوهش حاضر، جهت روش شدن علت اصلی ایجاد و گسترش ترک‌ها در منطقه‌ی شرق شهر سمنان، به بررسی عوامل مختلف تأثیرگذار در گسیختگی زمین، شامل: خصوصیات ژئوتکنیکی نهشته‌ها و شرایط زمین‌شناسی حاکم بر منطقه در کنار بررسی الگوی گسترش سطحی و عمقی ترک‌ها پرداخته شده است. براساس نتایج حاصل از مطالعات انجام شده، گسترش ترک‌ها در منطقه تحت تأثیر عوامل درونی (ذاتی) حاکم بر منطقه بوده و در واقع ترک‌های موجود، نمونه‌ی از ترک‌های انقباضی ایجاد شده در کنفه‌های رسی ولی با ابعاد بسیار بزرگ بوده است. ترک‌های مذکور در عمق زمین شکل گرفته و در نهایت با توسعه‌ی آنها داژن فرسایش زیرسطحی در سطح زمین رخمنون پیدا کرده‌اند. شرایط ویژه‌ی زمین‌شناسی موجود در منطقه، شامل: کانی‌شناسی، توپوگرافی و هیدرولوژی منطقه در کنار وضعیت اقلیمی منطقه از عوامل کلیدی در ایجاد ترک‌های گلی عظیم بوده است. همچنین پتانسیل رمبندگی و واگرایی نهشته‌های سطحی، نقش مهمی در توسعه‌ی ترک‌های گلی عظیم در منطقه داشته است.

واژگان کلیدی: ترک‌های گلی، گسیختگی زمین، رمبندگی خاک، پتانسیل واگرایی، کنفی رسی.

۱. مقدمه

منطقه نشان داده است که هیچیک از دلایل ذکر شده نمی‌تواند توضیح کامل و قابل قبولی برای الگوی توسعه‌ی ترک‌ها در منطقه ارائه دهد. بررسی صحرابی ترک‌ها مشخص ساخت که اغلب شکستگی‌های ذکر شده محدود به عمق متوسط ۴ تا ۶ متري هستند و الگوی گسترش پلیگونی دارند. بررسی جابه‌جایی در لبه‌ی شکاف‌های موجود در منطقه، نشان‌دهنده عدم رخداد جابه‌جایی بر شی در سطح شکاف است. همچنین با توجه به عبور مسیر راه‌آهن از منطقه به عنوان یک سازه‌ی خطی رخداد، هرگونه جابه‌جایی (برشی و کششی) در سطح زمین باعث ایجاد شکستگی و انحراف ریل‌ها می‌شده که رخداد این اتفاق نیز با وجود گسترش شدید ترک‌ها در منطقه تاکنون مشاهده نشده است.

در سال ۱۳۹۷^[۱] در بررسی شکستگی‌هایی با الگوی مشابه در منطقه‌ی رستاق در دشت یزد - اردکان، عامل درونی زمین و پتانسیل بالای رمبندگی و واگرایی خاک منطقه به عنوان یکی از دلایل محتمل جهت ایجاد این‌گونه شکستگی‌ها در

در محدوده‌ی واقع در شرق سمنان و به ویژه در کیلومترهای ۲۲۲ تا ۲۳۸ راه‌آهن تهران - مشهد (بلوک سمنان - میاندنه) براساس مشاهده‌های میدانی و گزارش‌های متعدد، ترک‌های گستردگی در سطح زمین مشاهده شده است.^[۲-۱] با توجه به خطر بالقوه‌ی ترک‌های ذکر شده برای سازه‌های موجود در منطقه، مطالعات گستردگی جهت شناسایی عوامل احتمالی ایجاد آنها انجام شده است. براساس نظر بسیاری از کارشناسان، ترک‌های موردنظر در اثر فرونشست زمین در نتیجه‌ی برداشت بی‌رویه‌ی آب‌های زیرزمینی ایجاد شده‌اند.^[۱] همچنین بسیاری از کارشناسان ژئوتکنیکی، پتانسیل بالای رمبندگی خاک را علت اصلی ایجاد و گسترش ترک‌های مذکور در منطقه ذکر کرده‌اند.^[۲-۳] مطالعه‌ی گزارش‌های موجود و همچنین بررسی صحرابی

* نویسنده مسئول

تاریخ: دریافت ۱۰ مرداد ۱۳۹۵، اصلاحیه ۱۱، ۱۳۹۵، پذیرش ۲۷ اکتبر ۱۳۹۶.

DOI:10.24200/J30.2018.1434.1811

محدوده‌ی مطالعاتی باشد. رسوب‌های مخروط افکنه‌ی منطقه‌ی ذکر شده توسط رودخانه‌هایی که از کوهستان سرازیر شده‌اند، حمل و به جا گذاشته شده‌اند. با حرکت از رأس به طرف قاعده‌ی مخروط و طی مسافتی در حدود ۱۰ کیلومتر، رسوب‌ها دانه‌ریزتر می‌شوند و همچنین جور شدگی بهتری دارند. رسوب‌های بخش‌های قاعده‌ی بیشتر از جنس سیلت و رس هستند.

۳. بررسی خصوصیات ژئوتکنیکی نهشته‌های منطقه

جهت بررسی خصوصیات ژئوتکنیکی نهشته‌ها در محدوده‌ی تمرکز ترک‌ها از اطلاعات حاصل از ۹ چاهک دستی حفر شده تا عمق ۸ متر در امتداد راه آهن و یک چاهک دستی با عمق ۱۰ متر در محدوده‌ی جنوبی خط استفاده شد. این تذکر لازم است که ۹ چاهک با عمق ۸ متر و در امتداد شمال راه آهن در فاز اول مطالعات و چاهک مشخص شده با نام new در شکل ۱ و با عمق ۱۰ متر در فاز دوم مطالعات در جنوبی راه آهن و در محدوده‌ی با پیر حفر شده‌اند.

به منظور شناخت پارامترهای مختلف خاک منطقه‌ی مورد مطالعه، آزمایش‌های صحرایی و آزمایشگاهی مختلف انجام پذیرفت که ازان جمله می‌توان به دانه‌بندی خاک، آزمایش‌های تحکیم، تحکیم مضاعف، پین هول و نفوذپذیری با بارافتان و ثابت اشاره کرد. در بخش حاضر، فقط نتایج دانه‌بندی خاک و تحکیم و در بخش‌های بعدی به فراخور نتایج، سایر آزمایش‌ها ارائه شده است.

با استفاده از سیستم طبقه‌بندی متعدد (USCS) و با توجه به دانه‌بندی و حد روانی و نشانه‌ی خمیری نمونه‌های به دست آمده از چاهک‌های حفر شده، به طور کلی نهشته‌های موجود در محدوده‌ی مورد مطالعه تا عمق ۸ متر را می‌توان در ۵ گروه طبقه‌بندی کرد. بر این اساس نهشته‌های موجود در پهنه‌ی رسی جز درگمانه‌ی شماره‌ی ۲ که در محدوده‌ی آبراه اصلی حفر شده است، عمده‌ی شامل نهشته‌های ریزدانه است و در گروه نهشته‌های رسی و سیلتی قرار می‌گیرد. نوع خاک در گمانه‌ی شماره‌ی ۲ در گروه خاک‌های سیلتی و ماسه‌ی قرار می‌گیرد. همچنین رسوب‌های رودخانه‌یی و طغیانی براساس سیستم طبقه‌بندی متعدد در گروه‌های SC و ML قرار می‌گیرند. به طور کلی نهشته‌های این بخش از مسیر نسبت به نهشته‌های کفه‌ی رسی درشت‌دانه‌تر هستند. با استفاده از نرم افزار Rockworks و داده‌های حاصل از ۹ چاهک دستی حفر شده در محدوده‌ی مطالعاتی، مدل سه بعدی گسترش نهشته‌های مختلف تهیه شد (از اطلاعات چاهک new به دلیل فاصله‌ی نسبتاً زیاد چاهک new تا ۹ چاهک اولیه در مدلسازی‌های انجام شده توسط نرم افزار Rockworks استفاده نشده است). براساس مدل سه بعدی گسترش نهشته‌ها در محدوده‌ی مورد مطالعه، لایه‌ی سطحی شامل نهشته‌های گروه CL است که در زیر آن در محدوده‌ی

منطقه‌ی مذکور معرفی شده است. رخداد ترک‌ها مشابه با الگوی پلیگونی در بسیاری از ایالت‌های آمریکا که اقلیم بیابانی داشتند، مانند اورگان، نوادا، کالیفرنیا، آریزونا و نیومکزیکو گزارش شده است.^[۶] در واقع می‌توان این نوع ترک‌های پلیگونی بزرگ را به عنوان یکی از لندرفرم‌های شاخص مناطق خشک و نیمه خشک که در برخی از نهشته‌های آبرفتی به ویژه پلاها مشاهده می‌شوند، معرفی کرد.^[۷]

بررسی علل مختلف تشکیل ترک‌های پلیگونی بزرگ، نشان‌دهنده‌ی رخداد مکانیسمی مشابه با پدیده‌ی انقباض خاک‌های غنی از رس و به ویژه کانی مونت‌موریانویت در اثر از دست دادن رطوبت و ایجاد ترک‌های گلی در سطح آنهاست.^[۸-۹] و در واقع ترک‌های با ساختار مشابه ترک‌های گلی و یا ترک‌های بزرگ خاکی، اما با مقایسه بسیار بزرگ تر هستند. مونت‌موریانویت خالص غنی از سدیم با اضافه شدن آب ممکن است تا ۱۵ برابر حجم اولیه منبسط شود. براساس مطالعات آزمایشگاهی و همچنین مشاهده‌های میدانی، ترک‌های گلی می‌توانند اندازه‌های مختلفی از حدود چند سانتی‌متر تا چند ۱۰۰ متر داشته باشند. یک ترک گلی عظیم می‌تواند تا ۱ متر عرض و تا ۳۰۰ متر طول داشته باشد.^[۱۰] آزمایش‌های انجام شده جهت بررسی عوامل مؤثر در توسعه‌ی ترک‌های گلی، نشان‌دهنده‌ی وجود ارتباط مستقیم میان ابعاد ترک و ضخامت لایه‌ی رسی خشک شده است.^[۱۱] ترک‌های گلی عظیم می‌توانند در عمق ۱۵ متری خاک شده تشکیل شوند و نهایتاً با فروپاشی سقف حفره در سطح زمین رخمنون یابند. رخمنون سطحی ترک‌های عظیم مدفون ذکر شده به صورت یک مجموعه‌ی خطی از فرچاهه‌ای فوریزی است.^[۱۲]

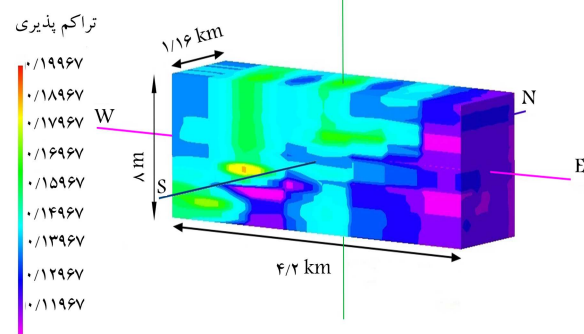
در سال ۱۹۶۸^[۱۳] ترک‌های پلیگونی شکل ایجاد شده در ۴۵ پلایای مختلف در ایالت‌های مختلف آمریکا بررسی شد و براساس نتایج به دست آمده، توسعه‌ی ترک‌های گلی عظیم غالباً در مناطقی با رسوب‌های ریزدانه و سطح سخت (لایه‌ی سطحی خاک که به واسطه‌ی تجمع رسوب‌های تبخیری به صورت پوسته‌ی سخت در سطح زمین ایجاد می‌شود) است. تحقیقات انجام شده در سال ۲۰۱۰^[۱۴] بر روی ترک‌های ایجاد شده در حوضه‌ی (پلایای) برودول^۱ در ایالت کالیفرنیا نشان داد که ترک‌های مشاهده شده در منطقه‌ی اشاره شده در واقع ترک‌های (انقباضی) گلی غولپیکر هستند که براساس سن سنجی ایزوتوپی کربن ۱۴ موجود در واریزه‌های چوبی مواد پرکننده‌ی ترک‌های مذکور، سن آنها به بیش از صدها سال و حتی شاید به چند هزار سال برسد. همچنین براساس شواهد رسوب‌شناسی، رخداد چنین ترک‌های گلی در رسوب‌های قدیمی نیز به ثبت رسیده است.^[۱۵] با توجه به ملاحظات عنوان شده، در بسیاری از موارد ترک‌های گلی عظیم ناشی از یک عامل طبیعی در نظر گرفته می‌شوند. با توجه به الگوی پلیگونی، توسعه‌ی ترک‌های موجود در منطقه‌ی شرق سمنان و همچنین وضعیت زمین‌شناسی، ژئوتکنیکی و هیدرولوژی حاکم بر منطقه در مطالعات انجام شده، پدیده‌ی انقباض خاک‌های رسی به علت از دست دادن رطوبت به عنوان عامل اصلی گسترش ترک در منطقه بررسی دقیق شده است.



شکل ۱. موقعیت چاهک‌های دستی حفر شده در محدوده‌ی مورد مطالعه.

۴. وضعیت زمین‌شناسی محدوده‌ی مورد مطالعه

براساس چهارگوش زمین‌شناسی سمنان، بخشی از محدوده‌ی مورد مطالعه بر روی یک پهنه‌ی رسی و بخش اصلی آن بر روی مخروط افکنه‌ی جوان شامل آبرفت رودخانه‌یی و دشت سیلانی قرار دارد.^[۱۶] براساس گسترش سازنده‌های زمین‌شناسی در اطراف محدوده‌ی مورد مطالعه و همچنین مسیر جریان‌های سطحی در منطقه به نظر می‌رسد سازنده‌کرج به سن انوسن و متضکل از توف، شیل و سنگ‌های آذرینی که ارتفاعات شرقی سمنان را تشکیل می‌دهند، منشاً بیشتر نهشته‌های موجود در



شکل ۴. مدل سه بعدی ضریب تحکیم پذیری نهشتہ های سطحی تا عمق ۸ متر در محدوده مطالعه.



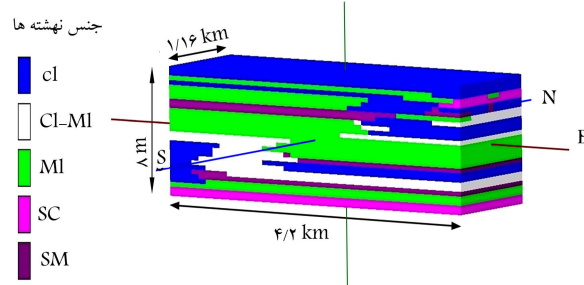
شکل ۵. تصویر ماهواره‌یی از ترک‌های گلی عظیم در محدوده مطالعه.

نمونه‌ی به دست آمده از اعماق مختلف گمانه‌های حفر شده در محدوده مطالعه براساس استاندارد ASTM D ۲۴۳۵، انجام پذیرفت.^[۱۶] با رگذاری نمونه‌ها تا فشار ۸ کیلوگرم بر سانتی‌متر مرتع و همچنین باربرداری در انتها تا فشار ۱ کیلوگرم بر سانتی‌متر مرتع در ۱ مرحله انجام شده است. مدل سه‌بعدی تراکم پذیری نهشتہ های موجود در محدوده مطالعه در شکل ۴ ارائه شده است که مطابق آن کمینه‌ی مقادیر ضریب تراکم پذیری در قسمت شرقی داشت که بیشتر تمرکز شکستگی‌ها در آنجا قرار دارد، مشاهده می‌شود. از این رو نمی‌توان ترک‌های ایجاد شده در سطح زمین را ناشی از تراکم رسوب‌های سست سطحی دانست.

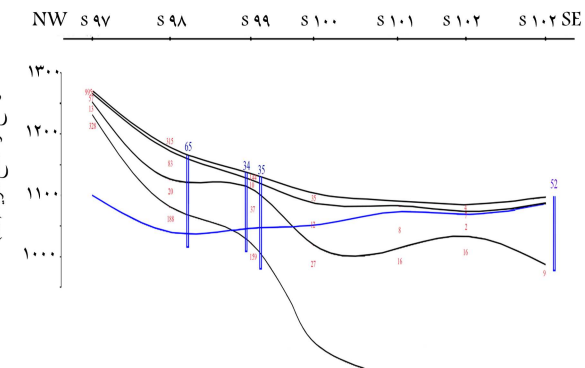
۴. بررسی الگوی شکاف‌ها و ترک‌ها در محدوده موردنظر

جهت شناسایی عمل ایجاد شکستگی‌ها در منطقه، الگوی شکستگی‌ها و روند توسعه‌ی آنها در محدوده مطالعه با استفاده از عکس‌های هوایی و تصاویر ماهواره‌یی و همچنین بازدیدهای صحرایی بررسی شد. با توجه به عکس‌های هوایی موجود، مطابقی که ترک‌ها گسترش بیشتری داشتند، شناسایی و نسبت به برداشت دقیق اطلاعات از وضعیت آنها در بازدیدهای صحرایی اقدام شد. عکس‌های هوایی و تصاویر ماهواره‌یی بیشترین تمرکز شکستگی‌ها را در منطقه‌ی شمال شرقی روستای اعلا در زمین‌های باир نشان می‌دهند (شکل ۵).

بررسی دقیق نحوه گسترش ترک‌ها در سطح زمین با استفاده از تصاویر ماهواره‌یی، نشان‌دهنده‌ی الگوی گسترش ترک‌ها به شکل پلیگون‌های (بسته یا باز)



شکل ۲. مدل سه بعدی گسترش لایه‌های مختلف نهشتہ‌های سطحی در محدوده مطالعه (حدفاصل کیلومتر ۲۳۲,۵ الی ۲۳۶,۵).



شکل ۳. پروفیل ژئوکتریکی شرق شهر سمنان در محدوده گسترش ترک‌ها.

پهنه‌ی رسی، لایه‌یی از نهشتہ‌های گروه ML قرار دارد که با حرکت به سمت شرق (رسوب‌های رودخانه و طغیانی) نهشتہ‌های گروه SC جایگزین آنها می‌شود. لایه‌یی سوم در محدوده پهنه‌ی رسی شامل نهشتہ‌های گروه SM است که ضخامت بسیار کمی دارد و با حرکت به سمت شرق از ضخامت آن کاسته و نهشتہ‌های گروه CL جایگزین آن می‌شود. لایه‌ی چهارم موجود در منطقه، شامل نهشتہ‌های گروه ML است که ضخامت قابل توجهی دارد و بیشترین ضخامت آن در محدوده گمانه ۴ (در پهنه‌ی رسی) است. جزئیات کامل چگونگی گسترش نهشتہ‌ها در اعماق مختلف محدوده مطالعه در شکل ۲ ارائه شده است.

به منظور تعیین عمق سنگ بستر، سطح آب زیرزمینی و وضعیت لایه‌های خاک در اعماق بیشتر علاوه بر اطلاعات حاصل از گمانه‌های حفاری شده از داده‌های ژئوکتریکی نیز استفاده شد. در شکل ۳، پروفیل مقاومت الکتریکی لایه‌های مختلف زمین در منطقه مطالعه نشان داده شده است. براساس نتایج حاصل از مطالعات انجام شده، لایه‌یی با مقاومت الکتریکی ۴ تا ۳۱۵ اهم متر وجود دارد که بیانگر رسوب‌ها و نهشتہ‌های سطحی منطقه است و ضخامتی حدود ۲ تا ۴ متر دارد. لایه‌ی دوم با مقاومت ۸ تا ۸۳ اهم متر بیانگر رسوب‌های درشت، متوسط تا ریزدانه است. از ابتدای پروفیل به سمت انتهای آن، اندازه‌ی رسوب‌ها از درشت به ریز تغییر می‌یابد. ضمناً رسوب‌های مذکور در ابتدای پروفیل خشک و در انتها مرتبط می‌شوند. لایه‌ی سوم با مقاومت ۹ تا ۳۷ اهم متر، بیانگر رسوب‌های متوسط تا ریزدانه و مرتبط است. در قسمت تحتانی، سوندانز ۱۰۰ تا انتهای پروفیل مربوط به سازند قرمز بالایی است. لایه‌ی آخر نیز با مقاومت ۱۵۹ تا ۳۰۰ اهم متر از ابتدای پروفیل تا سوندانز ۱۰۰ رديابی شده است، که بیانگر سنگ‌های آتشفسانی ریولیت دار ناحیه‌ی مذکور است.

به منظور تعیین پارامترهای تحکیم و نشت مصالح، آزمایش تحکیم بر روی ۳۵

صورتی که سطح آب زیرزمینی در عمق بیش از ۱۵ الی ۳۰ متر از سطح زمین قرار داشته باشد، افت سطح آب تأثیری در گسترش ترک‌های گلی مذکور نخواهد داشت.^[۱۷] برخی از ترک‌های عظیم در مناطق کشاورزی که در آنجا سطح آب‌های زیرزمینی به دلیل پمپاژ کاهش یافته است، ایجاد شده‌اند؛ در حالی که در بسیاری از موارد وجود چنین ترک‌هایی در پایه‌های دورافتاده که در آنجا هیچ‌گونه پمپاژ‌های زیرزمینی صورت نگرفته است، گزارش شده است. علاوه بر این، در دهه‌ی گذشته، قبل از گسترش استفاده از آب‌های زیرزمینی و افت گستردگی سطح آب، وجود ترک‌هایی عظیم در مکان‌های مختلفی ثبت شده است.^[۱۸] این تذریز لازم است که در محدوده‌ی گسترش ترک‌ها در منطقه‌ی مورد مطالعه، سطح آب زیرزمینی در سال ۱۳۷۲ براساس اطلاعات حاصل از پیزومتر شمال اعلا در عمق ۴۱ متری از سطح زمین قرار داشته است.

ترک‌های گلی عظیم ایجاد شده در عمق زمین می‌توانند مسیرهای بسیار مناسبی جهت رخداد پایینگ یا فرسایش تونلی در منطقه ایجاد کنند. در فرسایش تونلی، لایه‌های زیرین خاک به وسیله‌ی جریان‌های زیرسطحی آب شروع به فرسایش می‌کند و تونل‌های متعددی در لایه‌ی زیرین خاک تشکیل می‌شود و توسعه می‌یابد که نهایتاً با ریزش سقف تونل در سطح زمین به صورت گالهای رخنمون می‌یابند. عوامل مختلفی در توسعه‌ی فرسایش تونلی تأثیر دارند، که از آن جمله می‌توان به هیدرولوژی منطقه، توپوگرافی زمین، کانی‌شناسی خاک و کاربری اراضی اشاره کرد. فرسایش تونلی در انواع مختلف خاک‌ها شامل خاک‌های رسی و ماسه‌ی و به‌ویژه در خاک‌های واگرا و رمبنده توسعه می‌یابد.^[۱۹] در شکل ۸، نمونه‌هایی از آثار فرسایش تونلی در منطقه ایجاد شده است.

در زمین‌شناسی مهندسی، خاک رمبند، خاکی تا پایدار با ساختار سُست، متخلخل و در حالت طبیعی غیراشباع است. خاک‌های رمبند در حالت خشک، مقاومت بالایی دارند اما در اثر اشباع شدن، ساختار آن‌ها فرو می‌ریزد و دچار رمبندگی می‌شوند.^[۲۰] رمبندگی خاک می‌تواند مشکلاتی برای پی سازه‌های مسکونی، بل ها، جاده‌ها، کانال‌های آبیاری و سایر اینهای فنی به وجود آورد. میزان رمبندگی خاک تا حدودی وابسته به تخلخل ذاتی است. خصوصیات اصلی خاک‌های رمبند، تخلخل بالا (بیشتر از ۴۰٪)، اشباع شدگی پایین (کمتر از ۶۰٪)، درصد سیلت بالا (بیشتر از ۳۰٪ و گاهی تا ۹۰٪) و نرم شدن سریع در آب است.^[۲۱]

واگرایی پدیده‌ی است که طی آن خاک در اثر تماس با آب به صورت شناور در آن درمی‌آید و توسط نیروی حاصل از جریان آب از محیط خارج می‌شود. در گذشته چنین تصور می‌شد که تمام خاک‌های رسی در مقابل فرسایش ناشی از جریان آب مقاوم هستند، اما اکنون مشخص شده است که رس‌هایی در طبیعت



شکل ۸. نمونه‌هایی از فرسایش تونلی مشاهده شده در منطقه.

در سطح زمین است که بی‌شباهت به ترک‌های گلی نیستند، ولی ابعاد بسیار بزرگ تری دارند (شکل ۵). یکی دیگر از شواهد موجود در منطقه‌ی مورد مطالعه، فروچاله‌های فروریزشی با ابعاد مختلف است، که غالباً در امتداد یک خط قرار دارند و در عمق توسط تونلی (شکافی) به یکدیگر متصل هستند. در شکل ۶، نمونه‌ی از فروچاله‌های فروریزشی با آرایش خطی در محدوده‌ی مورد مطالعه ارائه شده است.

ترک‌های گلی معمولاً بعد از رخداد یک بارندگی شدید که باعث تولید رواناب قابل توجهی می‌شود، در سطح خاک رخنمون می‌یابند. بارندگی باعث اشباع شدن سطح بالایی خاک و رسوب‌ها و کاهش چسبندگی و مقاومت لایه‌های رسی و نهایتاً فرریختن لایه‌های سطحی در داخل حفره‌ی ایجادشده به وسیله‌ی ترک گلی می‌شود. معمولاً ترک‌های گلی عظیم در یک منطقه به صورت شبکه‌ی در عمق معینی از خاک ایجاد می‌شود.

ترک‌های عظیم ذکر شده در بخش انتهایی یک مخروط افکنه، جایی که شیب زمین به شدت کاهش می‌یابد و جریان آب از وضعیت کانالی و متمرکز به جریان صفحه‌یی تبدیل می‌شود، تشکیل می‌شوند. جریان صفحه‌یی آب نسبت به جریان‌های کانالی به علت سرعت حرکت کمتر و همچنین گستردگی بیشتر بر روی سطح، باعث اشباع کامل خاک تا عمق بیشتری می‌شود. همچنین جریان صفحه‌یی با توجه به پوشش بخش وسیعی از منطقه، احتمال نفوذ جریان آب به داخل ترک‌های ایجادشده و توسعه‌ی آن را بیشتر می‌کند.^[۲۲] در شکل ۷، موقعیت ترک‌های ایجاد شده به مخروط افکنه می‌شود.

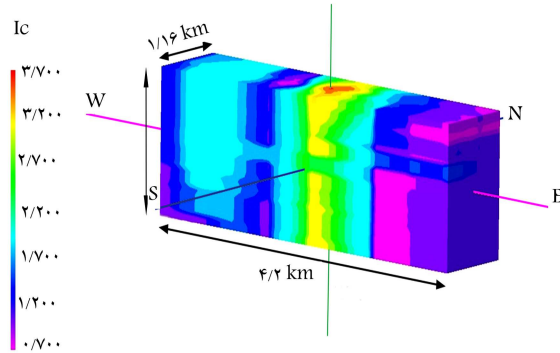
برخی پژوهشگران، کاهش سطح آب‌های زیرزمینی در اثر پمپاژ آب از چاه‌ها را به عنوان یک عملکرگار مانع ایجاد ترک‌های عظیم، به ویژه در مناطقی که سطح آب زیرزمینی نزدیک سطح زمین قرار دارد، پیشنهاد کردند. ولی در



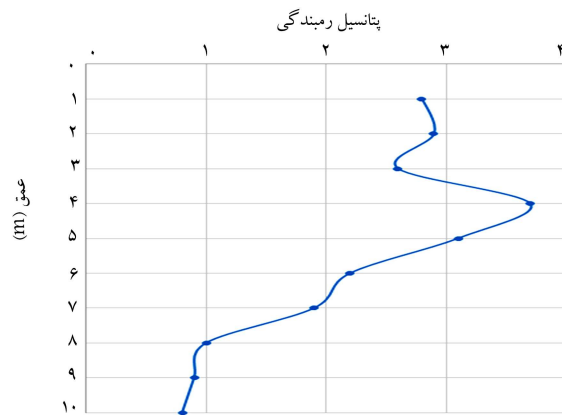
شکل ۶. نمایی از فروچاله‌های خطی در سطح زمین که نشان‌دهنده‌ی وجود یک ترک گلی در لایه‌های زیرین است.



شکل ۷. موقعیت ترک‌های مشاهده شده در قسمت انتهایی مخروط افکنه.



شکل ۹. مدل سه بعدی تغییرات شاخص رمبندگی معیار فدا (c) در محدوده مورد مطالعه.



شکل ۱۰. تغییرات پتانسیل رمبندگی خاک نسبت به عمق در چاهک دستی حفر شده در شرق منطقه‌ی مورد مطالعه.

گمانه‌های ۸ و ۹ بوده است که براساس نتایج آزمایش تحکیم مضاعف (در گمانه‌ی ۹) و معیار فدا، پتانسیل رمبندگی داشتند. با توجه به تمرکز شدید، ترک‌های بخش شرقی منطقه‌ی مورد مطالعه و جهت تکمیل اطلاعات موردنیاز علاوه بر چاهک دستی حفر شده در منطقه، نسبت به حفاری یک چاهک دستی دیگر به عمق ۱۰ متر و تهیی نمونه‌ی دست نخورده از محل تمرکز شکستگی‌ها اقدام شد. براساس نتایج انجام تحکیم مضاعف بر روی نمونه‌های به دست آمده از منطقه‌ی مذکور، بیشینه‌ی پتانسیل رمبندگی خاک در عمق ۴ متری و برابر با ۳/۷ است (ایهی CL-ML). در شکل ۱۰، روند تغییرات پتانسیل رمبندگی در اعماق مختلف شناس داده شده است. نتایج واگرایی خاک در گمانه‌های حفر شده در محدوده مورد مطالعه با استفاده از آزمایش سوراخ سوزنی، نشان دهنده مقاومت خاک در برابر واگرایی در تمامی نمونه‌های به دست آمده از چاهک دستی جدید به جز لایه‌ی قرارگرفته در عمق ۵ تا ۶ متر است که مقاومت پایینی در برابر واگرایی دارد. علاوه بر آزمایش انجام شده در سایر چاهک‌های دستی، از آزمایش پراش اشعه‌ی ایکس (XRD) جهت تعیین وضعیت کانی‌شناسی نمونه‌های رسی به دست آمده از چاهک جدید حفر شده در شرق منطقه استفاده شده است که براساس نتایج حاصل بیش از ۴۳/۸٪ کانی‌های رسی به دست آمده در گروه موئیت موریلوبنیت قرار دارند.

۲.۴. بررسی نفوذپذیری

تغییرات ضریب نفوذپذیری خاک، تأثیر به سزایی در تمرکز جریان در یک افق خاک

جدول ۱. نتایج آزمایش ارزیابی واگرایی (سوراخ سوزنی).

گمانه	ردیه خاک	عمق (متر)	رده‌بندی	مقاومت در برابر واگرایی
زیاد	ND ۲	۰-۲	CL	TP ۱
زیاد	ND ۲	۴-۶	ML	TP ۲
متوسط	ND ۳	۴-۶	CL-ML	TP ۳
زیاد	ND ۲	۰-۲	CL	TP ۴
زیاد	ND ۲	۲-۴	ML	TP ۵
متوسط	ND ۳	۴-۶	CL-ML	TP ۶
زیاد	ND ۲	۶-۸	CL	TP ۷
زیاد	ND ۲	۰-۲	CL	TP ۸
متوسط	ND ۳	۴-۶	CL	TP ۹

جدول ۲. نتایج آزمایش استاندارد اندازه‌گیری پتانسیل رمبندگی.

شماره‌ی گمانه	جنس خاک	عمق (متر)	پتانسیل رمبندگی
۱/۲	CL-ML	۸	TP ۱
۰/۶	CL-ML	۶	TP ۳
۱/۸	CL-ML	۶	TP ۶
۴/۸	CL	۵	TP ۹

وجود دارند که با جریان آب به شدت شسته می‌شوند. براساس مطالعات انجام شده، پدیده‌ی واگرایی می‌تواند ماهیت فیزیک و شیمیایی (خاک رس) و یا ماهیت فیزیکی (ماسه‌ی ریزو و سیلت درشت غیرچسبنده) داشته باشد. فرسایش ذرات نیروی جاذبه آن هاست و انتقال ذرات در ماسه‌های ریزدانه در اثر عدم چسبنده و ریز بودن آنها صورت می‌گیرد.^[۲۱]

۱.۴. بررسی پتانسیل واگرایی و رمبندگی خاک

با توجه به حساسیت بالای خاک‌های واگرایی و رمبندگی خاک بر روی نمونه‌های به دست آمده از ماسه‌ی نمونه‌های دست نخورده از محل تمرکز شکستگی‌ها اقدام شد. براساس نتایج واگرایی خاک در گمانه‌های حفر شده در محدوده مورد مطالعه با استفاده از روش سوراخ سوزنی^۲ بر طبق استاندارد ASTM D ۴۶۴۷^[۲۲] و با روش C در جدول ۱ ارائه شده است.

بر طبق نتایج ارائه شده در جدول ۱ در عمق ۶-۴ متری از گمانه‌های ۳، ۶ و ۹، خاک پتانسیل واگرایی دارد. برای تعیین پتانسیل رمبندگی خاک از آزمایش تحکیم مضاعف طبق استاندارد ASTM D ۵۳۳۳^[۲۳] بر روی نمونه‌های به دست آمده از اعماق مختلف خاک انجام شد که نتایج آن در جدول ۲ ارائه شده است.

با توجه به تعداد کم آزمایش‌هایی تحریک مضاعف جهت ارزیابی دقیق تر پتانسیل رمبندگی، خاک محدوده مورد مطالعه از معیار تعیین پتانسیل رمبندگی خاک ارائه شده توسط فدا نیز استفاده شد (شکل ۹^[۲۴]) که براساس آن، اگر مقدار π کمتر از ۱ باشد، خاک موردنظر پتانسیل رمبندگی دارد. در شکل ۹، مدل سه بعدی تغییرات مقدار π در معیار فدا در منطقه‌ی محدوده ارائه شده است که براساس آن نهشته‌های بخش شرقی محدوده (ناحیه‌ی تمرکز شکستگی‌ها)، پتانسیل رمبندگی دارند ($\pi < 1$).

با توجه به موقعیت گمانه‌های حفر شده، بیشترین تمرکز شکستگی‌ها در محدوده می-

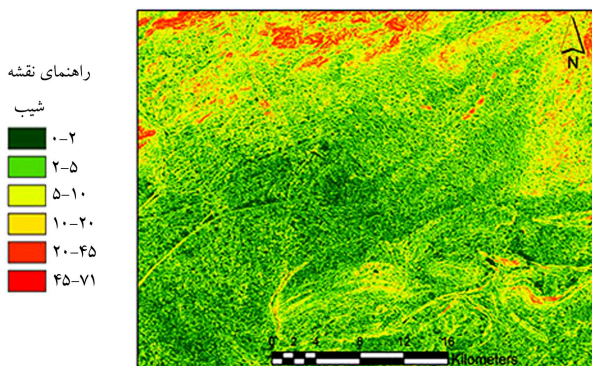
۳.۴. بررسی وضعیت توپوگرافی منطقه

همانگونه که اشاره شد، بیشترین تمرکز ترک‌های گلی عظیم در انتهای محدوده اذکارهای جایی که شیب زمین به شدت کاهش می‌یابد و تقریباً برابر با صفر می‌شود، گزارش شده است. بر این اساس با استفاده از مدل ارتفاعی رقومی منطقه در نرم‌افزار ARCGIS، وضعیت شیب منطقه تعیین شد. نقشه‌ی شیب برای منطقه‌ی مورد مطالعه مطابق شکل ۱۳ در گروه ۶-۲۰، ۵-۲، ۲۰-۵، ۱۰-۱۵، ۵-۱۰ و ۰-۵ درجه محدوده ۴۵ درجه تغییر شد. همانگونه که در شکل ۱۳ مشخص است، گسترش شکستگی‌ها در محدوده‌ی با شیب ۲۰ درجه، مشاهده شده است.

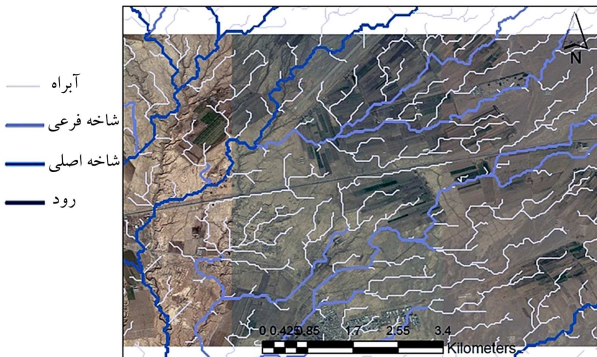
۴. بررسی وضعیت جریان سطحی رواناب‌ها در منطقه

با توجه به اهمیت چگونگی توزیع رواناب‌ها در منطقه بر روی گسترش ترک‌های عظیم و همچنین فرایند واگرایی و رمبندگی خاک، توزیع رواناب‌ها در سطح محدوده مورد مطالعه با استفاده از نرم‌افزار ARCGIS و لایه‌ی ارتفاعی رقومی منطقه تعیین شد (شکل ۱۴).

بررسی مسیر آبراهه‌ها نشان می‌دهد که با توجه به شیب بسیار کم زمین، کل منطقه تحت پوشش آبراهه‌هایی با جهت‌گیری‌های مختلف است. همچنین مسیر راه‌آهن، تأثیر مهمی در جهت‌گیری آبراهه‌ها در محدوده نزدیک به مسیر راه‌آهن داشته است و بسیاری از آبراهه‌ها به موازات راه‌آهن قرار گرفته‌اند. بررسی ترک‌های گلی عظیم در آریزونای آمریکا مشخص ساخت که سازه‌های خطی (امانند راه‌آهن و جاده‌ها) نقش مهمی در توسعه و گسترش ترک‌های گلی دارند که عمل آن را می‌توان تجمع رواناب‌های سطحی در امتداد سازه‌های مذکور دانست.^[۱۱]



شکل ۱۳. زاویه‌ی شیب منطقه و محدوده گسترش ترک‌ها.



شکل ۱۴. مسیرهای احتمالی جریان با توجه به توپوگرافی محدوده مورد مطالعه.

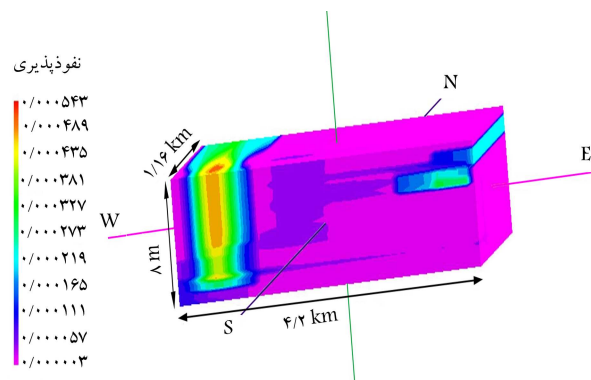
خاک و گسترش فرسایش تونلی در آن دارد. وجود لایه با نفوذپذیری پایین، باعث ایجاد جریان افقی در خاک می‌شود. عموماً بیشترین گسترش فرسایش تونلی در جریان افقی از خاک با نفوذپذیری بالا که روی لایه‌ی با نفوذپذیری پایین تر قرار گرفته است، رخ می‌دهد.^[۱۵] در جدول ۳، افق‌های مختلف خاک شناسایی شده در گمانه‌ی شماره‌ی ۹ و نفوذپذیری آنها ارائه شده است.

همچنین در شکل ۱۱، مدل سه‌بعدی نفوذپذیری محدوده مورد مطالعه ارائه شده است که براساس آن در شرق محدوده مطالعه‌ی اختلاف فاحشی میان نفوذپذیری لایه‌های مختلف وجود دارد.

با توجه به نتایج نفوذپذیری ارائه شده در جدول ۳ و مدل سه‌بعدی نفوذپذیری منطقه، اختلاف قابل توجهی میان نفوذپذیری لایه‌های دوم (SC) و سوم (CL) وجود دارد که این امر باعث ایجاد جریان افقی آب در لایه‌ی دوم می‌شود. در شکل ۱۲ نمایی از فرایند فرسایش لایه‌ی زیرین خاک و چگونگی ایجاد ترک در سطح زمین نشان داده شده است.

جدول ۳. تغییرات نفوذپذیری نهشته‌های سطحی در اعماق مختلف.

نفوذپذیری (cm/s)	نوع خاک	عمق (متر)
$5,8 \times 10^{-7}$	CL	۰-۲
$4,3 \times 10^{-4}$	SC	۲-۴
$5,8 \times 10^{-7}$	CL	۴-۶
$6,8 \times 10^{-6}$	CL-ML	۶-۸



شکل ۱۱. مدل سه‌بعدی ضریب نفوذپذیری محدوده مورد مطالعه.



شکل ۱۲. وجود یک لایه با تراویح و پتانسیل فرسایش بالا در زیر لایه‌ی رسی سطحی.

۵.۴. بارندگی

یکی دیگر از پارامترهای تأثیرگذار در توسعه‌ی ترک‌های عظیم، رژیم بارندگی و رخداد خشکسالی در منطقه است. براساس مطالعات انجام شده بر روی گسترش ترک‌ها در آریزونا در بازه‌های زمانی مختلف مشخص شد که گسترش ترک‌ها با دوره‌های خشکسالی در منطقه مطابقت دارد.^[۱۱] از سوی دیگر، رخمنون ترک‌های تشکیل شده در اعماق زمین در سطح زمین ۲ تا ۴ متری از سطح زمین با نفوذپذیری بالا (در عمق تقریبی ۲ تا ۴ متری از سطح زمین) قرار دارد. در واقع، ترک‌های کششی ایجاد شده در عمق ۴ تا ۶ متری توسط فرسایش زیرسطحی و تمکر جریان آب در مرز لایه با نفوذپذیری بالا و پایین توسعه یافته و نهایتاً با ریزش سقف حفره (لایه‌ی بالایی) در سطح زمین آشکار شده‌اند. بررسی تأثیر رمبندگی خاک بر توسعه‌ی ترک‌ها در منطقه مشخص ساخت که تمکر ترک‌ها در بخش شرقی منطقه که با توجه به مدل سه‌بعدی، ضریب رمبندگی با پتانسیل رمبندگی بالاتری دارد، بوده است. علاوه بر خصوصیات نهشت‌های موجود در منطقه‌ی توپوگرافی سطحی منطقه‌ی مورد مطالعه که شامل محدوده‌ی هموار و بدون شب لازم جهت زهکشی رواناب‌ها بوده است، نیز نقش بهسازی در گسترش ترک‌های موجود ایفا کرده است. همچنین تغییر مسیر جریان‌ها به واسطه ایجاد سازه‌های خطی، مانند راه‌آهن باعث تمکر در منطقه باعث ایجاد ترک‌هایی در طول دوره‌ی خشکسالی و گسترش آنها به سطح در طول دوره‌ی تراسالی شود. با توجه به آمار موجود، کمترین بارندگی سالانه برابر ۶۰,۵ میلیمتر بوده است، که در سال آبی ۱۳۵۱ اتفاق افتاده و پر باران‌ترین سال آبی، ۱۳۵۰ بوده است که میزان بارندگی به ۲۷۶/۱ میلیمتر رسیده است.

۵. نتیجه‌گیری

براساس مطالعات و بررسی‌های انجام پذیرفته می‌توان چنین استنباط کرد که گسترش ترک‌ها در محدوده‌ی شرق سمنان ناشی از عامل درونی و خصوصیات نهشت‌های سطحی موجود در منطقه است. در واقع، ترک‌های موجود، نمونه‌ی بسیار عظیم از ترک‌های گلای (ترک‌های اقتصادی) ایجاد شده در خاک‌های رسی به علت اشباع و خشک شدن خاک است. بررسی الگوی گسترش و همچنین هندسه‌ی ترک‌ها، نشان‌دهنده‌ی تفاوت آشکار ترک‌های مذکور با ترک‌های ایجاد شده در اثر برداشت آب و فرونشست زمین است. براساس نقشه‌ی زمین‌شناسی دشت سمنان، محدوده‌ی

پابلوشت‌ها

1. Broadwell Basin
2. pin hole

منابع (References)

1. Bazan, A., Hosseyni, Kh. and Mousavi, S.F. "Study of land subsidence due to water table drop, Case studies: The main plains of Semnan province", National Conference of Water Crisis in Iran and The Middle East, Shiraz, 5 p. (2015).
2. Eskani, G.H. and Jadidi, S. "Investigate of land subsidence in the Semnan plain", *Mining and Geosciences Journal*, 5(60), pp. 25-28 (2011).
3. Rafie, B.M.A. "Stabilization of collapsible soil using grouting technology-case study semnan-damghan railway", MSc. Thesis, Civil Engineering Faculty, Imam Khomeini International University, 128 p. (2009).
4. Rafie, B., Ziaie Moayed, R. and Esmaeli, M. "Evaluation of soil collapsibility potential: A case study of Semnan", *Railway station Electronic Journal of Geotechnical Engineering*, 13(1), pp. 1-7 (2008).
5. Komak panah, A. "Geotechnical investigation on the land failure of Yazd-Ardakan road network". *Journal of Transportion Reserch*, 4(2), pp. 181-196 (2007).

6. Neal, J.T.; Langer, A.M. and Kerr, P.F. "Giant desiccation polygons of Great Basin playas", *Geological Society of America Bulletin*, **79**(1), pp. 69-90 (1968).
7. Goudie, A.S. "Arid and semi-arid geomorphology", Cambridge University Press (2013).
8. Lang, W.B. "Gigantic drying cracks in Animas valley", *New Mexico, Science*, **98**(2557), pp. 583-584 (1943).
9. Fife, D.L. "Giant desiccation polygons and playa features", D.L. Fife and A.R. Brown (eds.), *Geology and Mineral Wealth of the California Desert*, Anaheim, California, South Coast Geological Society, pp. 414-429 (1980).
10. Lister, L.A. and Screst, C.D. "Giant desiccation cracks and differential surface subsidence, red lake playa, mo-have county, Arizona", *Bulletin of the Association of Engineering Geologists*, **XXII**(3), pp. 299-314 (1985).
11. Harris, R.C. "Giant desiccation cracks in Arizona", Arizona Geological Survey, Open-File Report, 99 p. (2004).
12. Rodriguez, R., Sanchez, M., Ledesma, A. and et al. "Experimental and numerical analysis of desiccation of a mining waste", *Canadian Geotechnical Journal*, **44**(6), pp. 644-658 (2007).
13. Johnson, W.J., Johnson, M.G. and. Zullo, E.G. "Characterization of unusual ground fissuring in a dry lakebed-broadwell basin, San Bernardino county, California", *Conference GeoFlorida: Advances in Analysis, Modeling and Design, West Palm Beach, Florida* (Feb. 20-24, 2010).
14. Samadian, M. and et al. "Geological map of Semnan, scale 1: 250,000", Geological Survey of Iran (1975).
15. Nabavi, M.H. "Geological Map of Semnan Sheet, 1: 100, 000", Geological Survey of Iran (1987).
16. ASTM D2435/ D2435M-11, "Standard test methods for one-dimensional consolidation properties of soils using incremental loading", ASTM International, West Conshohocken, PA (www.astm.org) (2011).
17. Lund, W.R., DuRoss, C.B., Kirby, S.M. and et al. "The origin and extent of earth fissures in Escalante Valley, Southern Escalante desert, Iron county", Utah Geological Survey, Utah, 115 (2005).
18. Valentin, C., Poesen, J. and Li, Y. "Gully erosion: Impacts, factors and control", *Catena*, **63**(1), pp. 132-153 (2005).
19. Hafezi Moghadas, N., Nikudelm, M.R. and Bahrami, K. "Assessment of collapsibility of loess soil at Qrnah areas in the north of Kalaleh, Golestan province", *Journal of Iranian Association of Engineering Geology*, **4**(1&2), pp. 39-46 (2011).
20. Ziaie Moayed, R. and Kamalzare, M. "Improving physical characteristics of collapsible soil (Case Study: Tehran-Semnan railroad)", *Journal of Engineering Geology*, **9**(2), pp. 2869-2890 (2015).
21. Rahimi, H., Davarzani, H. and Abbasi, N. "Physical dispersivity phenomenon and its evaluation criteria in cohesionless soils", *Iranian J. Agric. Sci.*, **35**(3), pp. 541-550 (2004).
22. ASTM Standard D4647-06, "Standard test method for identification and classification of dispersive clay soils by the pinhole test", ASTM International, West Conshohocken, PA., (www.astm.org)(2006).
23. ASTM D 5333-02., *Standard Test Method for Measurement of Collapse Potential of Soils*, Annual Book of ASTM Standards, 04, ASTM International, pp. 1197-1199 (www.astm.org) (2002).
24. Feda, J. "Structural stability of subsident loess soil from Praha-Dejvice", *Engineering Geology*, **1**(3), pp. 201-219 (1966).
25. Poesen, J., Nachtergael, J., Verstraeten, G. and et al. "Gully erosion and environmental change: importance and research needs", *CATENA*, **50**(2-4), pp. 91-133 (2003).